



Laboratorium EMVO Sp. J. Urbański, Pawelak

ul. Jasna 1  
00-013 Warszawa

tel. +48 22 780 29 64

e-mail: laboratorium@emvo.pl



AB 1630

## Sprawozdanie z pomiarów pól elektromagnetycznych - środowisko nr 41/03/OŚ/2023-P4



<b>Nr i nazwa stacji</b>	<b>GDA1024B</b>	
<b>Adres</b>	<b>Gdańsk, dz. nr 142/3, obręb 0037, pow. Gdańsk, woj. pomorskie</b>	
<b>Opracowanie</b>	<b>Wiesław Laskowski</b>	<b>Specjalista ds. pomiarów</b>
<b>Autoryzacja</b>	<b>Andrzej Urbański</b>	<b>Kierownik Laboratorium</b>
<b>Podpis</b>		
<b>Data</b>	<b>2023-03-27</b>	

„Bez pisemnej zgody Laboratorium niniejsze sprawozdanie nie może być powielane inaczej, jak tylko w całości. Ponadto wyniki dotyczą tylko badanych obiektów przywołanych w niniejszym sprawozdaniu z badań”

41/03/OŚ/2023-P4

Strona 1 z 10

## Spis treści

1. Informacje ogólne. ....	3
2. Podstawa prawna. ....	3
3. Opis pomiarów ....	3
4. Zróżnicowanie dopuszczalne poziomy pól elektromagnetycznych.....	4
5. Charakterystyka źródeł PEM.....	5
6. Wyniki pomiarów. ....	5
7. Stwierdzenie zgodności ....	7
8. Oświadczenie.....	7
9. Spis załączników. ....	7

## 1. Informacje ogólne.

Zleceniodawca	P4 Sp. z o.o., ul. Wynałazek 1, 02-677 Warszawa osoba udzielająca informacji – Magdalena Sokół
Istotne informacje dostarczone przez klienta	komplet informacji niezbędnych do wykonania pomiarów i opracowania sprawozdania
Dane otrzymane od klienta mogące mieć wpływ na ważność wyników	dane anten sektorowych, dane anten radioliniowych, parametry pracy instalacji, poprawka pomiarowa
Prowadzący instalację	P4 sp. z o.o., ul. Wynałazek 1, 02-677 Warszawa
Lokalizacja obiektu	Gdańsk, dz. nr 142/3, obręb 0037, pow. Gdańsk, woj. pomorskie
Miejsce instalacji anten	wieża rurowa
Miejsce instalacji urządzeń	outdoor
Osoby wykonujące pomiar	Roman Murawski - pomiarowiec
Data wykonania pomiaru	2023-03-27
Godzina rozpoczęcia pomiaru	10.15
Godzina zakończenia pomiaru	11.50
Temperatura na początku pomiaru [°C]	4
Temperatura na koniec pomiaru [°C]	4
Warunki atmosferyczne	brak opadów
Wilgotność na początku pomiaru [%]	87
Wilgotność na koniec pomiaru [%]	87
Inne źródła pól elektromagnetycznych oznaczone na załączniku graficznym	występują
Parametry pracy instalacji	tryb eksploatacyjny

## 2. Podstawa prawna.

### 2.1 Normy i rozporządzenia:

- Rozporządzeniem Ministra Klimatu z dnia 17 lutego 2020 r. w sprawie sposobów sprawdzania dotrzymania dopuszczalnych poziomów pól elektromagnetycznych w środowisku (Dz.U. 2020 poz. 258)
- Rozporządzenie Ministra Zdrowia z dnia 17 grudnia 2019 r. w sprawie dopuszczalnych poziomów pól elektromagnetycznych w środowisku (Dz.U. 2019 poz. 2448)
- Obwieszczenie Marszałka Sejmu Rzeczypospolitej Polskiej z dnia 29 września 2021 r. w sprawie ogłoszenia jednolitego tekstu ustawy - Prawo ochrony środowiska (Dz.U. 2021 poz. 1973)
- Rozporządzenie Ministra Klimatu i Środowiska z dnia 6 maja 2022 r. zmieniające rozporządzenie w sprawie sposobów sprawdzania dotrzymywania dopuszczalnych poziomów pól elektromagnetycznych w środowisku (Dz.U. 2022 poz. 1121).

## 3. Opis pomiarów

Metodologia pomiarowa Pomiary w oparciu o Rozporządzeniem Ministra Klimatu z dnia 17 lutego 2020 r. w sprawie sposobów sprawdzania dotrzymania dopuszczalnych poziomów pól elektromagnetycznych w środowisku (Dz.U. 2020 poz. 258) oraz Rozporządzenie Ministra Klimatu i Środowiska z dnia 6 maja 2022 r. zmieniające rozporządzenie w sprawie sposobów sprawdzania dotrzymywania dopuszczalnych poziomów pól elektromagnetycznych w środowisku (Dz.U. 2022 poz. 1121).

Cel badań Określenie wartości natężenia pola elektrycznego w miejscach dostępnych dla ludności.

Opis zestawu pomiarowego	<p>Miernik Narda NBM 550, Sonda EF-6092, o zakresie pomiarowym 0,7 V/m –300V/m pracująca w paśmie 0,1 – 90 GHz, świadectwo wydane przez Laboratorium Wzorców i Metrologii Pola Elektromagnetycznego, Instytut Telekomunikacji, Teleinformatyki i Akustyki Politechniki Wrocławskiej. Świadectwo ważne do 10.06.2024 r.</p> <p>Miernik Narda NBM 550, Sonda EF-6092 pracująca w zakresie temperatury -10°C - +50°C oraz wilgotności 5% - 95%</p> <p>Niepewność rozszerzona wynosi 58,8% przy poziomie ufności 95% z uwzględnieniem współczynnika rozszerzenia k=2.</p>
Wyposażenie pomocnicze	<p>Termohigrometr Bestone, Nr. inwentarzowy 03/WL, nr identyfikacyjny 1222436, typ: GM1362-EN-00, świadectwo wzorcowania z dn. 22.12.2015 r. wydane przez Laboratorium Pomiarowe „MUTECH”.</p> <p>Przymiar wstęgowy STABILA, Nr. inwentarzowy 06/WL, nr identyfikacyjny 06WL, świadectwo wzorcowania z dn. 22.09.2021 r. wydane przez Zespół Laboratoriów wzorcujących Okręgowego Urzędu Miar w Gdańsku.</p> <p>GPS Garmin 64s okresowo sprawdzany w punktach osnowy geodezyjnej klasy 3 na podstawie licencji punktu, zgodnie z procedurą sprawdzeń okresowych IS/PO-16-11/03.</p>
Pomiary zostały wykonane	<ol style="list-style-type: none"> <li>na głównych i pomocniczych kierunkach pomiarowych, na kierunkach zbliżonych do azymutów anten oraz w dodatkowych pionach pomiarowych zgodnie z wymaganiami pkt 12, 13, 14 i 19 Rozporządzenia Ministra Klimatu z dnia 17 lutego 2020 r. (Dz. U. 2020, poz. 258) oraz Rozporządzenia Ministra Klimatu i Środowiska z dnia 6 maja 2022 r. zmieniającego rozporządzenie w sprawie sposobów sprawdzania dotrzymania dopuszczalnych poziomów pól elektromagnetycznych w środowisku (Dz.U. 2022 poz. 1121).</li> <li>na obszarze pomiarowym, dla którego, na podstawie uprzednio przeprowadzonych obliczeń stwierdzono w miejscach dostępnych dla ludności występowanie pól elektromagnetycznych o najwyższym poziomie, które pochodzą z badanej instalacji zgodnie z wymaganiami pkt 5 ppkt 2 oraz pkt 13 ppkt 1 Rozporządzenia Ministra Klimatu z dnia 17 lutego 2020 r. w sprawie sposobów sprawdzania dotrzymania dopuszczalnych poziomów pól elektromagnetycznych w środowisku (Dz. U. 2020, poz. 258) oraz Rozporządzenia Ministra Klimatu i Środowiska z dnia 6 maja 2022 r. zmieniającego rozporządzenie w sprawie sposobów sprawdzania dotrzymania dopuszczalnych poziomów pól elektromagnetycznych w środowisku (Dz.U. 2022 poz. 1121). Wyniki obliczeń nie uwzględniały parametrów pracy instalacji innych operatorów występujących na obiekcie bądź w obszarze pomiarowym.</li> <li>w miejscach dostępnych dla ludności.</li> <li>miejsca niedostępne podczas wykonywania pomiarów wskazane zostały w pkt 6 (tabeli wyniki pomiarów).</li> </ol>
Szczególne warunki podczas wykonywania pomiarów	Pomiary wykonane zostały podczas obowiązywania w kraju stanu zagrożenia epidemicznego, zgodnie z art. 122a ust. 1b Ustawy z dnia 27 kwietnia 2001 r. – Prawo ochrony środowiska (Dz. U. z 2019 r. poz. 1396, z późn. zm.9))
Warunki pracy urządzeń nadawczych	Tryb pracy eksploatacyjny.

#### 4. Zróżnicowanie dopuszczalne poziomy pól elektromagnetycznych.

Zakresy znajdują się w Dzienniku Ustaw z dnia 17 grudnia 2019 r. przedstawione są w tabeli nr 2 (Dz. U. z 2019r. poz. 2448).

Zakres częstotliwości pola elektromagnetycznego	Parametr fizyczny		
	Składowa elektryczna E (V/m)	Składowa magnetyczna H (A/m)	Gęstość mocy S (W/m <sup>2</sup> )
od 400 MHz do 2000 MHz	$1,375 \times f^{0,5}$	$0,0037 \times f^{0,5}$	f / 200
od 2 GHz do 300 GHz	61	0,16	10

## 5. Charakterystyka źródeł PEM.

Zgodnie z informacją otrzymaną od klienta pomiary zostały wykonane przy ustawieniach pochylecia anten zgodnych z pkt. 13, ppkt 2 załącznika do rozporządzenia Ministra Klimatu z dnia 17 lutego 2020 roku.

Tabela 1. Anteny sektorowe - dane otrzymane od klienta

Charakterystyka promieniowania		kierunkowa														
Rzeczywisty czas pracy [h/dobę]		24														
Rodzaj wytwarzanego pola		stacjonarne														
Lp.	Wyszczególnienie	sektor 1					sektor 2					sektor 3				
I																
Nadajnik stacji bazowej:																
1	Typ / Producent	DBS / SRAN Huawei														
2	Częstotliwość (pasmo) MHz	2100	1800	900	2600	800	2100	1800	900	2600	800	2100	1800	900	2600	800
3	Maksymalna moc nadawana na sektor [dBm]	52,04	52,04	47,78	52,04	49,03	52,04	52,04	47,78	52,04	49,03	52,04	52,04	47,78	52,04	49,03
II																
Obciążenie:																
1	Typ anteny	Huawei ATR4518R13			Huawei ATR4518R13		Huawei ATR4518R13			Huawei ATR4518R13		Huawei ATR4518R13			Huawei ATR4518R13	
2	Producent anteny	Huawei			Huawei		Huawei			Huawei		Huawei			Huawei	
3	Ilość anten	1			1		1			1		1			1	
4	Azymut	80					190					320				
5	Zakres kątów pochylecia anten [°]	0,00-10,00	0,00-10,00	0,00-14,00	0,00-10,00	0,00-14,00	0,00-10,00	0,00-10,00	0,00-14,00	0,00-10,00	0,00-14,00	0,00-10,00	0,00-10,00	0,00-14,00	0,00-10,00	0,00-14,00
6	Wysokość zainst. n.p.t. [m]	40,50					40,50					40,50				
7	EIRP [W]	20107			12736		20107			12736		20107			12736	

Tabela 2. Anteny radioliniowe - dane otrzymane od klienta

Charakterystyka promieniowania				kierunkowa			
Rzeczywisty czas pracy [h/dobę]				24			
Rodzaj wytwarzanego pola				stacjonarne			
Lp.	Linia radiowa			Antena			
	typ/producent	częstotliwość pracy [GHz]	moc wyjściowa [dBm]	typ/producent	średnica anteny [m]	azymut [°]	wysokość zainstalowania n.p.t. [m] (środek elektryczny anteny)
1	OPTIX RTN/HUAWEI	80	18	VHLP2-80/Andrew	0,6	237	41,80

## 6. Wyniki pomiarów.

Wyniki pomiarów pól elektromagnetycznych dla celów ochrony środowiska przedstawia poniższa tabela. Piony pomiarowe zostały przedstawione w zał. 2.

Nr PP	Pole-E [V/m]	Pole-E+U [V/m]	Pole-H [A/m]	Pole-H+U [A/m]	Wysokość pomiaru [m]	Współrzędne PP x, y	Opis PP	WM <sub>E</sub>	WM <sub>H</sub>
1	1,4	2,22	0,004	0,006	0,3 - 2,0	54°21'30.24" N 18°33'54.42" E	otoczenie stacji bazowej - 50 m wzdłuż gł. osi promieniowania - GKP	0,081	0,081
2	1,2	1,91	0,003	0,005	0,3 - 2,0	54°21'30.52" N 18°33'57.14" E	otoczenie stacji bazowej - 100 m wzdłuż gł. osi promieniowania - GKP	0,069	0,069
3	1,6	2,54	0,004	0,007	0,3 - 2,0	54°21'30.8" N 18°33'59.87" E	otoczenie stacji bazowej - 150 m wzdłuż gł. osi promieniowania - GKP	0,092	0,092
4	1,1	1,75	0,003	0,005	0,3 - 2,0	54°21'31.08" N 18°34'2.6" E	otoczenie stacji bazowej - 200 m wzdłuż gł. osi promieniowania - GKP	0,064	0,063

„Bez pisemnej zgody Laboratorium niniejsze sprawozdanie nie może być powielane inaczej, jak tylko w całości. Ponadto wyniki dotyczą tylko badanych obiektów przywołanych w niniejszym sprawozdaniu z badań”

Nr PP	Pole-E [V/m]	Pole-E+U [V/m]	Pole-H [A/m]	Pole-H +U [A/m]	Wysokość pomiaru [m]	Współrzędne PP x , y	Opis PP	WM <sub>E</sub>	WM <sub>H</sub>
5	1,1	1,75	0,003	0,005	0,3 - 2,0	54°21'31.64" N 18°34'8.05" E	otoczenie stacji bazowej - 300 m wzdłuż gł. osi promieniowania - GKP	0,064	0,063
6	1,0	1,59	0,003	0,004	0,3 - 2,0	54°21'31.93" N 18°34'10.78" E	otoczenie stacji bazowej - 350 m wzdłuż gł. osi promieniowania - GKP	0,058	0,058
7	0,9	1,43	0,002	0,004	0,3 - 2,0	54°21'32.23" N 18°34'13.78" E	otoczenie stacji bazowej - 405 m wzdłuż gł. osi promieniowania - GKP	0,052	0,052
8	1,5	2,38	0,004	0,006	0,3 - 2,0	54°21'28.37" N 18°33'51.21" E	otoczenie stacji bazowej - 50 m wzdłuż gł. osi promieniowania - GKP	0,087	0,087
9	1,1	1,75	0,003	0,005	0,3 - 2,0	54°21'26.77" N 18°33'50.73" E	otoczenie stacji bazowej - 100 m wzdłuż gł. osi promieniowania - GKP	0,064	0,063
10	0,9	1,43	0,002	0,004	0,3 - 2,0	54°21'25.18" N 18°33'50.25" E	otoczenie stacji bazowej - 150 m wzdłuż gł. osi promieniowania - GKP	0,052	0,052
11	1,0	1,59	0,003	0,004	0,3 - 2,0	54°21'23.59" N 18°33'49.77" E	otoczenie stacji bazowej - 200 m wzdłuż gł. osi promieniowania - GKP	0,058	0,058
12	1,2	1,91	0,003	0,005	0,3 - 2,0	54°21'22" N 18°33'49.29" E	otoczenie stacji bazowej - 250 m wzdłuż gł. osi promieniowania - GKP	0,069	0,069
13	1,5	2,38	0,004	0,006	0,3 - 2,0	54°21'20.4" N 18°33'48.81" E	otoczenie stacji bazowej - 300 m wzdłuż gł. osi promieniowania - GKP	0,087	0,087
14	1,5	2,38	0,004	0,006	0,3 - 2,0	54°21'18.81" N 18°33'48.32" E	otoczenie stacji bazowej - 350 m wzdłuż gł. osi promieniowania - GKP	0,087	0,087
15	1,8	2,86	0,005	0,008	0,3 - 2,0	54°21'17.06" N 18°33'47.8" E	otoczenie stacji bazowej - 405 m wzdłuż gł. osi promieniowania - GKP	0,104	0,104
16	1,6	2,54	0,004	0,007	0,3 - 2,0	54°21'31.2" N 18°33'49.91" E	otoczenie stacji bazowej - 50 m wzdłuż gł. osi promieniowania - GKP	0,092	0,092
17	1,2	1,91	0,003	0,005	0,3 - 2,0	54°21'32.44" N 18°33'48.13" E	otoczenie stacji bazowej - 100 m wzdłuż gł. osi promieniowania - GKP	0,069	0,069
18	1,0	1,59	0,003	0,004	0,3 - 2,0	54°21'33.68" N 18°33'46.35" E	otoczenie stacji bazowej - 150 m wzdłuż gł. osi promieniowania - GKP	0,058	0,058
19	0,8	1,27	0,002	0,003	0,3 - 2,0	54°21'34.91" N 18°33'44.57" E	otoczenie stacji bazowej - 200 m wzdłuż gł. osi promieniowania - GKP	0,046	0,046
20	1,1	1,75	0,003	0,005	0,3 - 2,0	54°21'36.15" N 18°33'42.79" E	otoczenie stacji bazowej - 250 m wzdłuż gł. osi promieniowania - GKP	0,064	0,063
21	1,0	1,59	0,003	0,004	0,3 - 2,0	54°21'37.39" N 18°33'41.01" E	otoczenie stacji bazowej - 300 m wzdłuż gł. osi promieniowania - GKP	0,058	0,058
22	1,2	1,91	0,003	0,005	0,3 - 2,0	54°21'38.63" N 18°33'39.23" E	otoczenie stacji bazowej - 350 m wzdłuż gł. osi promieniowania - GKP	0,069	0,069
23	1,4	2,22	0,004	0,006	0,3 - 2,0	54°21'39.99" N 18°33'37.27" E	otoczenie stacji bazowej - 405 m wzdłuż gł. osi promieniowania - GKP	0,081	0,081
24	1,5	2,38	0,004	0,006	0,3 - 2,0	54°21'29.08" N 18°33'49.37" E	otoczenie stacji bazowej - 50 m wzdłuż gł. osi promieniowania - GKP	0,087	0,087
25	1,1	1,75	0,003	0,005	0,3 - 2,0	54°21'28.2" N 18°33'47.05" E	otoczenie stacji bazowej - 100 m wzdłuż gł. osi promieniowania - GKP	0,064	0,063
26	0,8	1,27	0,002	0,003	0,3 - 2,0	54°21'31.43" N 18°33'52.86" E	otoczenie stacji bazowej - PKP	0,046	0,046
27	1,2	1,91	0,003	0,005	0,3 - 2,0	54°21'28.92" N 18°33'53.81" E	otoczenie stacji bazowej - PKP	0,069	0,069
A	1,5	2,38	0,004	0,006	0,3 - 2,0	54°21'30.0" N 18°34'1.2" E	ul. Dolne Migowo 15, pomiar przy budynku - DPP	0,087	0,087
B	1,0	1,59	0,003	0,004	0,3 - 2,0	54°21'30.5" N 18°34'4.3" E	ul. Dolne Migowo 15aa, pomiar przy budynku - DPP	0,058	0,058
C	0,9	1,43	0,002	0,004	0,3 - 2,0	54°21'31.3" N 18°34'6.1" E	ul. Dolne Migowo 15ac, pomiar przy budynku - DPP	0,052	0,052
D	0,7*	1,27	0,002	0,003	0,3 - 2,0	54°21'31.5" N 18°34'7.2" E	ul. Dolne Migowo 15af, pomiar przy budynku - DPP	0,046	0,046
E	1,0	1,59	0,003	0,004	0,3 - 2,0	54°21'31.4" N 18°34'9.0" E	ul. Dolne Migowo 15s, pomiar przy budynku - DPP	0,058	0,058

Nr PP	Pole-E [V/m]	Pole-E+U [V/m]	Pole-H [A/m]	Pole-H +U [A/m]	Wysokość pomiaru [m]	Współrzędne PP x, y	Opis PP	WM <sub>E</sub>	WM <sub>H</sub>
F	1,1	1,75	0,003	0,005	0,3 - 2,0	54°21'32.5" N 18°34'11.3" E	ul. Dolne Migowo 16r/16ra, pomiar przy budynku - DPP	0,064	0,063
G	1,2	1,91	0,003	0,005	0,3 - 2,0	54°21'36.4" N 18°33'39.2" E	ul. Potokowa 54/56, pomiar przy ogrodzeniu - DPP	0,069	0,069
H	1,1	1,75	0,003	0,005	0,3 - 2,0	54°21'38.2" N 18°33'38.9" E	ul. Potokowa 50, pomiar przy ogrodzeniu - DPP	0,064	0,063

Wynik pomiaru pole - E [V/m] - maksymalna wartość chwilowa zmierzona w danym pionie pomiarowym (uśredniona na podstawie punktu 11 załącznika do Rozporządzenia Ministra Klimatu z dnia 17 lutego 2020 r. w sprawie sposobów sprawdzania dotrzymania dopuszczalnych poziomów pól elektromagnetycznych w środowisku (Dz.U. 2020 poz. 258, Dz.U. 2022 poz. 1121)). Zgodnie z pkt. 7 załącznika do Rozporządzenia Ministra Klimatu z dnia 17 lutego 2020 r. w sprawie sposobów sprawdzania dotrzymania dopuszczalnych poziomów pól elektromagnetycznych w środowisku (Dz.U. 2020 poz. 258, Dz.U. 2022 poz. 1121) nie stosuje się poprawek pomiarowych.

Przyjęto najniższą dopuszczalną wartość składowej elektrycznej pola dla objętego pomiarami zakresu częstotliwości min(MEgr)= 28 V/m oraz składowej magnetycznej min(MHgr)= 0,073 A/m.

\* - wartość zmierzona poniżej zakresu akredytacji. Do obliczeń przyjęto wartość zgodną z dolną granicą akredytowanego zakresu pomiarowego metody.

GKP - główne kierunki pomiarowe

PKP - pomocnicze kierunki pomiarowe

DPP - dodatkowe punkty pomiarowe

PP - pion pomiarowy

U - niepewność pomiarowa rozszerzona, przy poziomie ufności 95%, z uwzględnieniem współczynnika rozszerzenia k=2

WM<sub>E</sub> - wartość wskaźnikowa poziomu emisji pól elektromagnetycznych dla miejsc dostępnych dla ludności dla składowej elektrycznej pola

WM<sub>H</sub> - wartość wskaźnikowa poziomu emisji pól elektromagnetycznych dla miejsc dostępnych dla ludności dla składowej magnetycznej pola

## 7. Stwierdzenie zgodności

Na podstawie wytycznych podanych w Rozporządzeniu Ministra Zdrowia z dnia 17 grudnia 2019 r. w sprawie dopuszczalnych poziomów pól elektromagnetycznych w środowisku (Dz.U. 2019 poz. 2448) oraz sposobów sprawdzania dotrzymania tych poziomów zgodnie z Rozporządzeniem Ministra Klimatu z dnia 17 lutego 2020 r. w sprawie sposobów sprawdzania dotrzymania dopuszczalnych poziomów pól elektromagnetycznych w środowisku (Dz.U. 2020 poz. 258) oraz Rozporządzeniem Ministra Klimatu i Środowiska z dnia 6 maja 2022 r. zmieniającego rozporządzenie w sprawie sposobów sprawdzania dotrzymania dopuszczalnych poziomów pól elektromagnetycznych w środowisku (Dz.U. 2022 poz. 1121), dotyczących źródła wymagań, które muszą być spełnione, w oparciu o zasadę podejmowania decyzji zgodną z pkt. 26 Rozporządzenia Ministra Klimatu z dnia 17 lutego 2020 r. (Dz.U. 2020 poz. 258), na podstawie wyników pomiarów pól elektromagnetycznych wykonanych w dniu 2023-03-27 stwierdzono, że wszystkie wyniki przeprowadzonych pomiarów w danym obszarze pomiarowym oraz wyznaczone na tej podstawie wskaźniki WME oraz WMH są mniejsze od wartości dopuszczalnych – zgodnie z przepisami wydanymi na podstawie art. 122 ust. 1 ustawy z dnia 27 kwietnia 2001 r. – Prawo ochrony środowiska – załącznikiem do Rozporządzenia Ministra Klimatu i Środowiska z dnia 17 lutego 2020 r. w sprawie sposobów sprawdzania dotrzymania dopuszczalnych poziomów pól elektromagnetycznych w środowisku (Dz.U. 2020 poz. 258, pkt 26).

## 8. Oświadczenie.

Wyniki badania odnoszą się wyłącznie do badanego obiektu.

Bez pisemnej zgody sprawozdanie nie może być powielane inaczej, jak tylko w całości.

Uwagi i zastrzeżenia przyjmowane są w formie pisemnej.

## 9. Spis załączników.

Zał. 1. Lokalizacja obiektu.

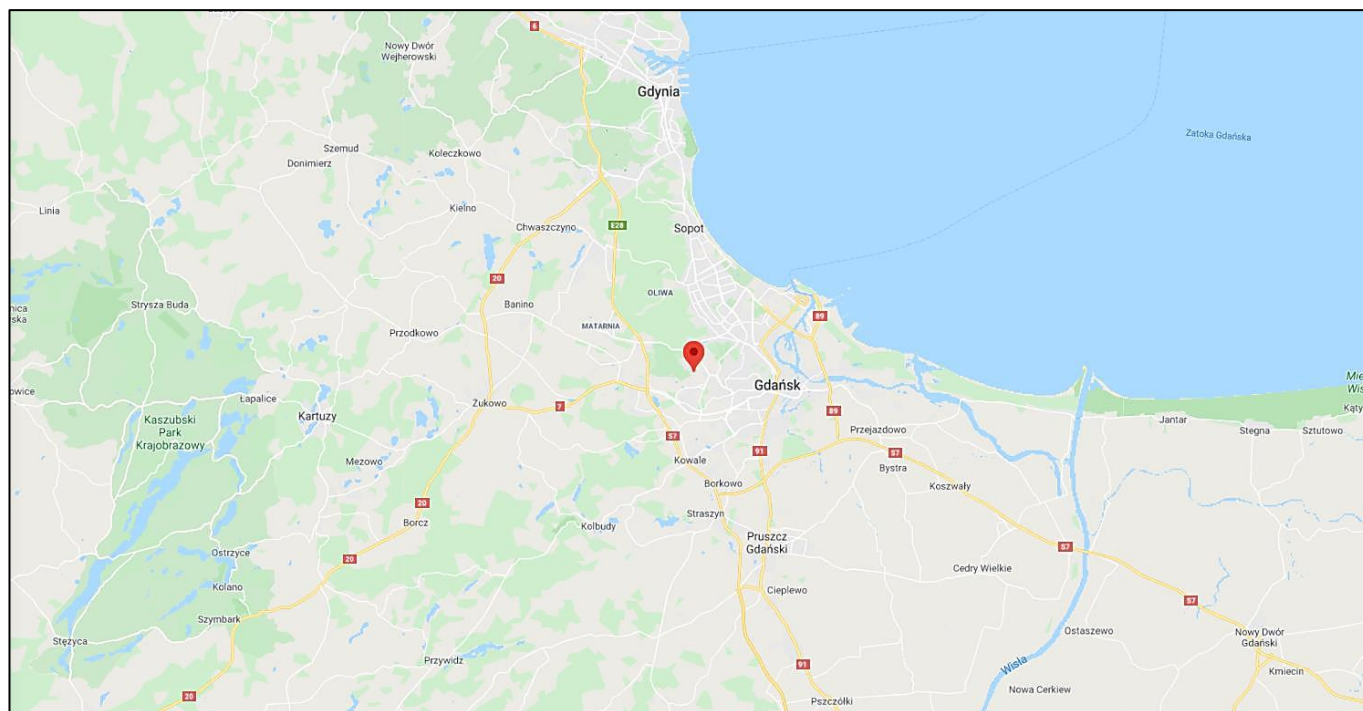
Zał. 2. Widok pionów pomiarowych.

Zał. 3. Widok stacji bazowej.

## Koniec sprawozdania

„Bez pisemnej zgody Laboratorium niniejsze sprawozdanie nie może być powielane inaczej, jak tylko w całości. Ponadto wyniki dotyczą tylko badanych obiektów przywołanych w niniejszym sprawozdaniu z badań”

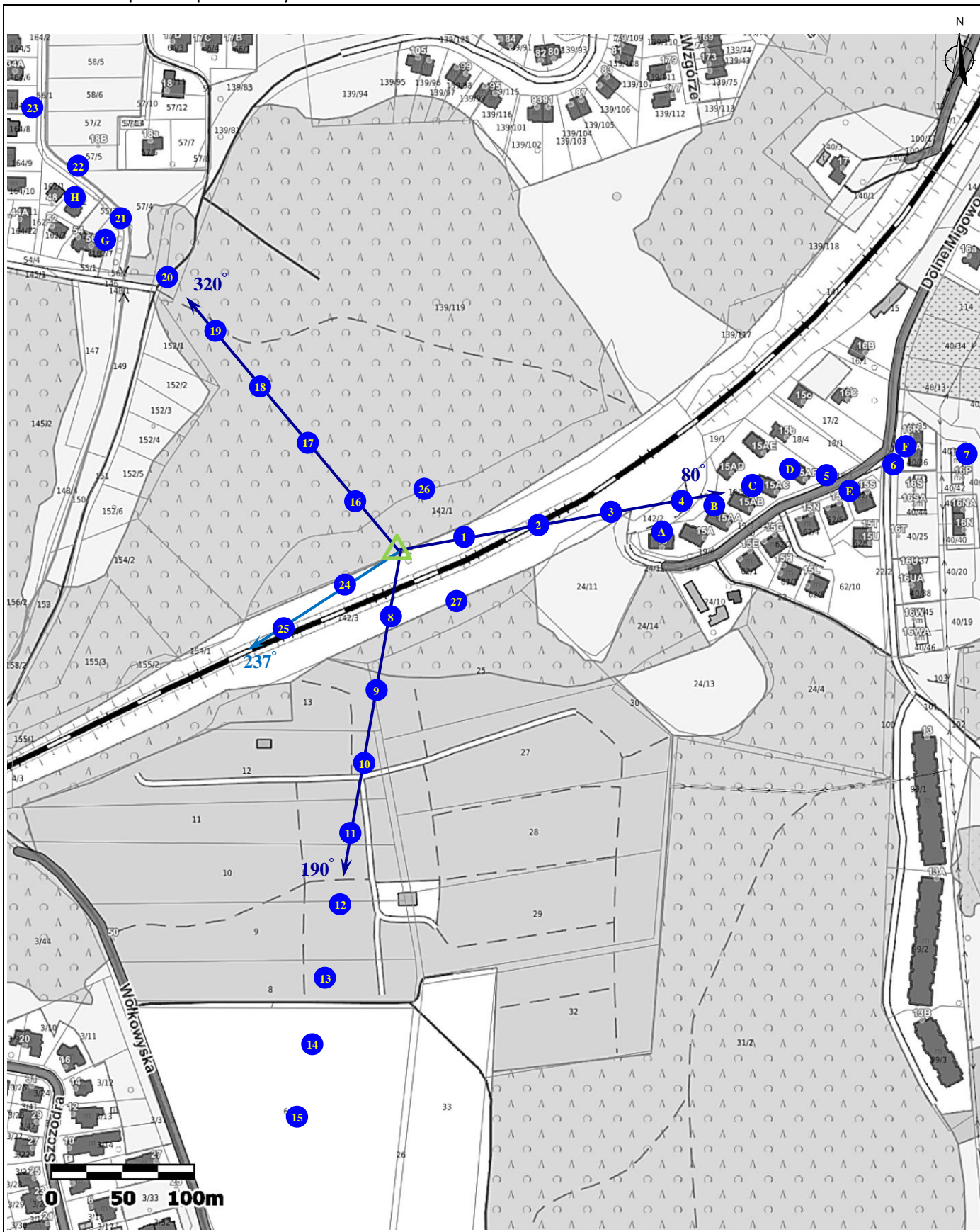
## Zał. 1. Lokalizacja obiektu








Współrzędne geograficzne	
szerokość:	54°21'29.80"N
długość:	18°33'51.70"E



Załącznik 2. Widok pionów pomiarowych



LEGENDA:

-  inna instalacja radiokomunikacyjna
-  brak dostępu
-  pion pomiarowy
-  antena sektorowa
-  antena radioliniowa

Skala 1: 5000

### Załącznik 3. Załączniki graficzne

